

C.R.D.O

IV-736

1938

HCHO<sub>2</sub>, DCDO ( V )

Eborg B. S., Molcomb H. H.

J. Chem. Phys. 1938, 6, 371-15

"Infrared absorption" . . .

CD<sub>2</sub>O

C. A., 1938, 6153<sup>2</sup>

H

N-728

HCHO, DCDO ( $\omega_i, x_{ik}$ )

1951

Brand J.C.D.

J.Chem.Phys., 1951, 19, 377-8

Vibrational analysis of the fluorescence  
spectrum of formaldehyde



C.A., 1951, 6931d



H0

$H_2CO$

Метафоб В.Н.

1952

$D_2CO$

Свердлин А.С.

Васильчиков Н.В.

Логинов Н.Н.

МФХ, XXVI, 732.

Синтетическое и  
кислотное введение  
известных гидроксидов  
весь VIII, 9.

$H_2CO$	<sup>2</sup> Walsh A.D.	1952 VII ✓
у.оп. спектр.	J.Chem.Phys. <u>20</u> , 1502-3.	
$H_2CO$	<u>Быстроуменный у.оп. спектр формальдегида (<math>H_2CO</math>)</u>	
Бородин 22/4		
СА 48 10882 R.		

ЛУ 771

1955

H<sub>2</sub>O, D<sub>2</sub>O ( синтетич. вост., VI )

Mugibaku

Se Chon. Soo. Japan. Purc. Chon. Soo.,

1955, 76, II 10, 1132-1135 ( японск ).

Синтетич. восстановленные полисахариды.

CD<sub>2</sub>O

24.1.1957, II 4.10073

10

IV-738

D<sub>2</sub>CO( Vi, LHCN, ZC-N, ZC-O, LHC0 )

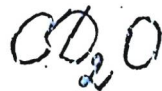
1956

Brand J. G. P. e.

J. Chem. Soc., 1956, Apr., 858-  
872 ( ann. )

АНГЛ.

Электронный спектр ...



РХ., 1957, N10,  
33537

10

11-552

1956

D<sub>2</sub>CO ( J )

Reed R.J.

Trans. Faraday Soc., 1956, 52, № 9, 1195-1200  
(cont.)

Исследования методом электронного  
удара. Часть I. Формальдегид, дейтероформ-  
альдегид и другие соединения

РХ., 1957, № 8, 25744



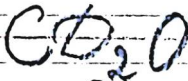
10, II

H<sub>2</sub>CO (Колебат. и избранные изображения) 1958  
D<sub>2</sub>CO

Robinson G.W., Di Giorgio V.E.,

Canad. J. Chem., 1958, 36, №1, 31-38 (анн.)

Природа формальбензона в его низкотемпературных возбудженных состояниях



РМН, 1953, №16, 56092



10

3

// 727

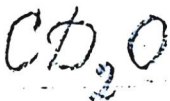
CD<sub>2</sub>O ( Расчет силовых постоянных . 1960  
и межатомных расстояний )

Babu R.P., Sreeramamurty K.

Current.Sci., 1960, 29, N 12,  
467-468 ( англ. )

Постоянныe потенциальной энергии...

РХ., 1961, 20Б104



10

IV-753

D<sub>2</sub>CO ( V<sub>i</sub>, A, B, C, G, Z-X, LXYZ ) 1960

Oka Takeshi, Hirakawa Hiromasa,  
Shimoda Koichi

J. Phys. Soc. Japan, 1960, 15, N 12,  
2265-2273, 2274-2279 ( ann. -- )

microwave spectrum of ...

PK., 1962, 3 6132

10



$\mu$ -1596

$\text{CSO}_2$ ,  $\text{COCl}_2$ ,  $\text{COF}_2$  1961

( $\text{O}_2$ ,  $\text{Dj}$ ,  $\text{Djk}$ ,  $\text{dk}$ ,  $\text{D}$ ,  $\text{C}$ ,  $\text{H}_2$ ,  $\text{N}_2$ )

$\text{COCl}_2$ ,  $\text{COF}_2$  ( $\text{O}_2$ ,  $\text{Dj}$ ,  $\text{Djk}$ ,  $\text{Dk}$ )

Villai M.G. Krishna, Cleveland L.P.

J. molec. Spectrosc., 1961, 6  
N 5, 465-471 {

Potential energy constants ...

etc., 1962, 4 60



1963

IV-9630

CD<sub>2</sub>O (mol.post.)

Flygare W.H.

Sympos. Molec. Struct. and Spectrosc.  
Columbus, 1963, "Columbus",  
Ohio, s.a., 27-98

Quadrupole ...

J

9070 - IV

1963

H<sub>2</sub>CO, D<sub>2</sub>CO ( rotation str.)

Takagi K., Oka T.

J. Phys. Soc. Japan, 1963, 18, N 8,

1174-1180

Millimeter wave ...

J

IV-M-359

1964

$\text{CH}_2\text{O}$ ;  $\text{CHDO}$ ;  $\text{CD}_2\text{O}$  (D)

Curtis E.C.

J.Molec.Spectrosc, 1964, 14,  
N 3, 279-291

The anharmonicity correction for ...

J

PK, 1965, 17 43

H<sub>3</sub>CO

S<sub>2</sub>CO

3 (v<sub>1</sub>, v<sub>2</sub>, v<sub>3</sub>, tot. exc. rovib.)

81354

IV - 9801

1964

Oka T., Takagi K., Morino Y.

J. Molec. Spectrosc., 1964, 14, 4124-52 (see also)

Microwave spectrum of formaldehyde  
in vibrationally excited states.

Rec. Feb. 1, 1965, 8D219

10

+ 20

N - ■-463

1965

$H_2CO$ ;  $\underline{D_2CO}$ ;  $HDCO$ ;  
(forc.const.,  $v_i$ )

Budzinski J.

Bull. Acad. polon. sci. Ser. sci. math, astron  
et phys", 1965, 13, N2, 183-187

Force constants and the form of  
normal vibrations of ...

J

PF, 1965, 11 95

HCHO (v<sub>i</sub>, microcav. no. 5) 1965  
DCDO conjugate, No 112-M494  
Henderson J. R., Muramoto M.  
J. Chem. Phys., 1965, 43, 44, 1215-  
1219 January  
3546-A° system of formaldehyde.



Propy, 1966, 3D215

10

$D_2CO$

~~comb. unpubl.  
unpubl.~~

cell. no. 51

$H_2O$

$H_2O$

$H_2O$

Shimaneccchi T.,  
Suzuki T.

1965

J. Chem. Phys.,

42, N1, 296

(Cell.  $H_2O$ ) III

D<sub>2</sub>CO

Shimanozaki T., Suzuki J. [1965]

J. Chem. Phys.,

43, N5, 1854

лит. япон.

неподтверждено!



OCR<sub>2</sub>(2)

XII - 26a"

1966

Müller A., Nagarajan G.,

Z. Phys. Chem., 1966, N1-2,

M.H.

113-126

$\text{CO}_2$

Venkateswarlu K. u. gr. 1967

Ind. J. Pure. and Appl. Phys.,  
5, N1, 14-17

Обобщенное среднее арифметическое колебаний и  
постающее корреляционное  
взаимодействие плоских ко-  
лекций типа  $\text{XYZ}_2$

(All.  $\text{CO}_2$ ) III

1968

CR<sub>2</sub>O

Kudchadker S. A., El-Sabban  
M. Z., Zwolinski B. J.

Molec. Phys., 14, N 5, 473.

v<sub>i</sub>

Анализ пористых  
координат пространства  
и его динамико-  
механических свойств в сущест-  
вующих состояниях  
(см. CH<sub>2</sub>O)

CD<sub>2</sub>O

Shanti A.K., et al.

1968

el. n. ;

D<sub>i</sub>;

exc. nox.

Molecular Phys., 1968,  
14, n5, 443.

Normal-coordinate  
analysis of formaldehyde  
and its deuterated  
species on the singlet  
excited state (<sup>1</sup>A<sub>2</sub>)



Фиш 352



1969

D<sub>2</sub> CO

Guyon P.-M., Tronc M.

J. chine. phys. et phys.  
J. chim. Biol., 66, n° 1,  
35.

стремится к азоту при  
искусственном выращивании  
корн-затене способом  
двуго. г. Углеродные  
изомоногомерные эфирки

при диссоцииации  $H_2 CO$ ,  
 $HD CO$  и  $D_2 CO$  под действием  
солнечной радиации проходит  
в 20 ударов.

(см.  $H_2 CO$ ) III

1969

$\text{H}_2\text{CO}$

Guyon P.-M.

J. chine. phys. et phys.-  
chim. biol., 66, N 3, 467  
441.

upogaeaea  
fusca

(acc.  $\text{H}_2\text{CO}$ ) III

1969

$\text{H}_2\text{CO}$

августа

Yob V.A. u gp.

J. Molec. Spectrosc.,  
30 (3), 365.

(ал.  $\text{H}_2\text{CO}$ ) III

1970

СДР

(и на ё)

сборник  
академ.  
coleo.

Baran Jr. Y.

Z. Naturforsch A., 1970,

25 (n 8/9), 1292

(Сел Р-О-Нал) III

$ZXK_2$	TOK	$u(XY)$	$u(XZ)$	$u(Y..L)$	$u(Y..Z)$
OCD <sub>2</sub>	298,2	a 0,0686	0,0375	0,100	0,083
		b 0,0682	—	0,100	—
		c 0,0683	0,0379	—	0,079
-O		a 0,0686	0,0375	0,100	0,082
		b 0,0682	—	0,100	—
		c 0,0683	0,0379	—	0,079

~~B72~~ - 1661 - XIV

1969

$\text{H}_2\text{CO}$

Yones V.T., Coon J.B.

J. Mol. Spectrosc., 31 (1),  
137.

издевп.

струнн.

спау. изв.

(ав.  $\text{H}_2\text{CO}$ ) II

$\text{CO}_2$

Lojko M. S.,  
Beers Y.

1969

J. Res. Nat. Bur. Stand.

V<sub>i</sub>

A73, N2, 233

брак не проходил

(c.u.  $\text{H}_2\text{O}$ )  $\bar{\text{III}}$

1970

*R<sub>2</sub> CO*

№ 5 Д124. Переход  ${}^1A_2 - {}^1A_1$  в формальдегиде  $h_2, d_2$  и  $hd$  при  $3500 \text{ \AA}$ . Анализ возмущений Кориолиса и Ферми.  
*Sethugaman V., Job V. A., Innes K. K.* The  $3500 \text{ \AA} {}^1A_2 - {}^1A_1$  transition of formaldehyde- $h_2, d_2$  and  $hd$ . Analysis of Coriolis and Fermi perturbations. «J. Mol. Spectrosc.», 1970. 33, № 2, 189—243 (англ.)

*М. Н.*

Проанализированы поправки колебательно-вращательного взаимодействия и ангармоничности вплоть до 2-го порядка в молекулах типа формальдегида. Получены общие ф-лы для матричных элементов операторов кориолисовых возмущений 1-го и 2-го порядка. Результаты применены к анализу колебательно-вращательной структуры электронного перехода при  $3500 \text{ \AA}$  молекул  $\text{H}_2\text{CO}$ ,  $\text{D}_2\text{CO}$  и HDCO. Методом наименьших квадратов из экс-

+1

(см. также с  
 $\text{K}_2\text{CO}$ ) !!!



№ 1971.50

перим. частот вычислены эффективные значения вращательных постоянных  $A$ ,  $B$ ,  $C$ , постоянных центробежного сжатия  $D_J$ ,  $D_{JK}$ ,  $D_K$  (в приближении симметричного волчка) и кориолисовой постоянной  $\varsigma$  для уровней  $5^1$ ,  $1^14^1$  ( ${}^1A_2$ ),  $4^1$ ,  $6^1$  ( ${}^1A_1$ )  $H_2CO$  и  $4^1$ ,  $6^1$  ( ${}^1A_1$ )  $HDCO$ . Аномальная структура уровней  $5^1$  и  $1^14^1$  ( ${}^1A_2$ )  $H_2O$  интерпретирована сильным кориолисовым возмущением 2-го порядка между колебаниями  $v_1$ ,  $v_4$  и  $v_5$ . Предложен также способ качественного анализа возмущений Кориолиса и Ферми, основанный на приближенном выборе параметров возмущений. Этим способом вычислены энергии уровней с учетом и без учета возмущений в зависимости от квантовых чисел  $J$  и  $K$  и показано, что уровень  $2^14^3$   $H_2CO$  взаимодействует по механизму резонанса Ферми с уровнем  $2^13^14^1$  и по механизму резонанса Кориолиса с уровнями  $2^14^16^1$ ,  $2^13^1$  и  $2^16^1$ .

М. Р. Алиев

$\mu_2 \text{CO}$

Becker H. Y.  
Adrian A.

1921

J. Mol. Struct., Y (3-4),  
323.

$\nu_i$   
Cart. N.

XIV - 1888

(acc.  $\mu_2 \text{CO}$ )  $\bar{\text{II}}$

$\text{C}_2\text{O}_2$

ommunc 3210

1972

Smith D. W

and. no. 5. Andrews L.

i) Spectrochim Acta,  
1972, 28A, 493 - 99

Anharmonic potential  
functions ..

$D_2$  | CO

сентябрь 1871

1973

Chu F. V. Freund S. M. et al.

„J. Mol. Spectrosc.” 1973, 48,  
No. 328 - 335 (авг.)

Ди; мн  
Наблюдение с  $\Delta K = 2$  биомолекулам  
 $H_2CO$  и  $D_2CO$ .

Х. 1974 N 13

(см  $H_2CO$ ; III)

Зар. 247

40213.9066

Ph, TE

D2CO

96625

1973

17.28

Chapput A., Roussel B., Fleury G.Etude par spectroscopie Raman en phase  
vapeur des trois espèces deutérées  
du formaldéhyde. "J. Raman Spectrosc.",  
1973, 1, N 5, 507-511

1973, 1, N 5, 507-511

(франц., рез. англ.) 0043 ник

025 027

ВИНИТИ

40225.1816

Ch, Ph, TE

$D_2CO$

41125

$\mu, \nu$

1973

1872

Johns J.W.C., McKellar A.R.W. Stark spectroscopy with the CO laser: the  $\nu_2$  fundamentals of  $H_2CO$  and  $D_2CO$ .

"J. Mol. Spectrosc.", 1973, 48, N 2,

354-371

(англ.) (ад.  $H_2CO$ ; ii)

84

0052 ЗЕК

036 038

ВИНИТИ

D<sub>2</sub>CO Khoshkhoo Hosseini, 1973

Nixon Eugene R.

(Vi) "Spectrochimica"

1973, A29, N4, 603-612.

(Cu H<sub>2</sub>CO; III)

1973

8200

Overent, John.  
From Govt. Rep. Announce./ U.S./  
1973, 37, NII, 52.

Сибирь

(ex. CS<sub>2</sub>; m)

$\text{C}_2\text{H}_2\text{O}$

1973

Thomas Samuel G. Jr.  
Guillory William A.

qomowicz

"J. Phys. Chem"

1973, 77, N<sub>20</sub>, 2469-73



(cur.  $\text{CH}_2\text{O}$ ; III)

1973

D<sub>2</sub>CO

7 Д421. Квадрупольная связь дейтерия в формальдегиде. Tuckeg K. D., Tomasevich G. R. Deuteron quadrupole coupling in formaldehyde. «J. Mol. Spectrosc.», 1973, 48, № 3, 475—478 (англ.)

На мазерном спектрометре с молекулярным пучком при разрешении 1,5 КГц измерена СТС линии вращательного перехода  $1_{10} - 1_{11}$  молекулы D<sub>2</sub>CO с центром при 6096068 кгц. Идентифицированы линии 6 переходов СТС и определены значения постоянных спин-вращательного взаимодействия и квадрупольной связи для ядра дейтерия. Вычислены значения диагональных компонентов тензора градиентов электрич. поля вблизи ядра дейтерия и показано, что главные оси тензора градиентов поля совпадают с соответствующими главными осями инерции D<sub>2</sub>CO. Полученные значения градиентов совпадают с результатами неэмпирич. расчета методом ССП МО ЛКАО.

М. Р. Алиев

Ф. 1974 № 7

$\text{H}_2\text{CO}$

Chardon J.C.

1974

Genty C. et al.

"Rev. phys. appl" 1974, 9,  
N6, 961-965 (pp. jus avus)

(u.n)

(au  $\text{H}_2\text{CO}$ ; III)

phi. 1975. NY

D<sub>2</sub>CO

справка 2340

1974

М.И.

24 Б256. Наблюдение ряда переходов низкочастотного спектра D<sub>2</sub>CO. Сверхтонкая структура перехода 3<sub>3</sub>. Chardon Jean-Claude, Genty Claude, Guichon Daniel, Sungar Naim, Theobald Gérard. Observation de quelques transitions du spectre basse fréquence de D<sub>2</sub>CO. Structure hyperfine de la transition 3<sub>3</sub>. «C. r. Acad. sci.», 1974, B278, № 25, 1075—1077 (франц.)

Измерены 59 МВ-вращательных переходов типа  $J_{K_{-1}K_1} \rightarrow J_{K_{-1}'K_1}$  ( $3 \leq J \leq 10$ ) молекулы D<sub>2</sub>CO (I) в низкочастотной области 134—43975 Кгц. С помощью теории Кивельсона-Вильсона вычислен для всех этих переходов вклад, связанный с центробежным искажением. Исследована сверхтонкая структура перехода 3<sub>30</sub> → 3<sub>31</sub>. Из анализа этой структуры определена постоянная квадрупольного взаимодействия I  $\chi_{aa}^D = -11,8 \pm 0,5$  Кц (a направлено по оси симметрии молекулы).

А. П. Александров

х. 1974. № 24

$D_2CO$

сентябрь 2340

1974

12 Д422. Наблюдение некоторых низкочастотных переходов вращательного спектра  $D_2CO$ . Сверхтонкая структура перехода  $3_3$ . Chardon Jean-Claude, Genty Claude, Guichon Daniel, Sungur Naim, Théobald Jean-Gérard. Observation de quelques transitions du spectre basse fréquence de  $D_2CO$ . Structure hyperfine de la transition  $3_3$ . «С. г. Acad. sci.», 1974, B278, № 25, 1075—1077 (франц.)

Исследован микроволны спектр молекулы  $D_2CO$  в основном колебательном состоянии. Идентифицированы линии 9 вращательных переходов в области 0,1—45 Мгц и сверхтонкая структура перехода  $3_{30}—3_{31}$  (6288,6 кгц). Определены значения вращательных постоянных  $A=141\ 664$ ,  $B=32\ 283$ ,  $C=26185,76$  Мгц и постоянных спин-вращательного взаимодействия ядра D:  $M_{ap}=0,28$ ,  $M_{\beta\beta}=-0,25$ ,  $M_{cc}=0,29$  кгц. М. Р. Алиев.

ф. 1974 № 12

41127.1257

Ch, Ph, TC

30526

02

1974

D<sub>2</sub>CO

\* 4-7388

Duncan J. L. - The ground-state  
average and equilibrium structures of  
formaldehyde and ethylene.

"Mol. Phys.", 1974, 28, N5, 1177-1191

(англ.)

0245 ник

50124.8729

Ch, Ph, TC

96201 02

1974

D<sub>2</sub> CD (спектр) \*4-7926

Lessard C.R., Moule D.C., Bell S.

The lower rydberg states of formaldehyde.

"Chem. Phys. Lett.", 1974, 29, N 4, 603-605

(англ.) Всп-6349-XIV

0288

263 263 280

ВИНИТИ

1974

D<sub>2</sub>CO

24 Б244. Полоса  $4_1^0$  формальдегида-d<sub>2</sub> при 365 нм; анализ вращательной структуры и кориолисовы возмущения. Огг В. Џ. The 365 nm  $4_1^0$  band of formaldehyde-d<sub>2</sub>: analysis of rotational structure and Coriolis perturbations. «Spectrochim. acta», 1974, A 30, № 6, 1275—1291 (англ.)

Исследована с высоким разрешением полоса поглощения  $v'=0 - v''=1$  при 365 нм в системе  $A^1A_2 - X^1A_1$  газ. D<sub>2</sub>CO (I). Проведен вращательный анализ для этой полосы с учетом сильного кориолисова возмущения для уровня  $v_4''=1$  и 0 использованием метода наименьших квадратов, что позволило определить вращательные постоянные I в основном ( $X^1A_1$ ) и возбужденном ( $A^1A_2$ ) электронно-колебательных состояниях. Из резюме

х. 1974. N 24

1974

D<sub>2</sub>CO

1 Д371. Полоса 4<sub>1</sub><sup>0</sup> формальдегида-d<sub>2</sub> около 365 нм: анализ вращательной структуры и кориолисовых возмущений. Огг В. Џ. The 365 nm 4<sub>1</sub><sup>0</sup> band of formaldehyde-d<sub>2</sub>: analysis of rotational structure and Coriolis perturbations. «Spectrochim. acta», 1974, A 30, № 6, 1275—1291 (англ.)

(дн)

Получены УФ-спектры поглощения газообразного D<sub>2</sub>CO в области 365 нм с разрешением  $\sim 0,05 \text{ см}^{-1}$ , связанные с колебательно-вращательной полосой ( $v' = 0 \leftarrow v_4'' = 1$ ) электронного перехода  $A'A_2 - X'A_1$ . Приведены частоты линий вращательной структуры, определенные с точностью  $0,02 \text{ см}^{-1}$ . Анализ спектра проведен в приближении симметричного волчка, фактор асимметрии учтен как возмущение. Изучены кориолисовы взаимодействия уровней  $v_4$ ,  $v_6$  и  $v_3$  методом введения эффективных вращательных постоянных, связанных

Ф, 1975 № 1

ных с матричными элементами кориолисова возмущения, для уровней с небольшими  $K$  и введением поправки в частоту колебательного перехода и больших  $K$ . Отмечен случай  $\Delta K = \pm 2$  при взаимодействии  $v_4$  и  $v_6$  и  $\Delta K = \pm 3$  для  $v_4$  и  $v_3$ . В первом случае обнаружены аномальные соотношения интенсивностей  $r$  и  $p$ -подполос в области  $J=9-14$  и  $K=8-11$ . Определены врачательные постоянные  $A$ ,  $B$  и  $C$  и все три  $D$  для нижнего и верхнего уровней, колебательные частоты  $v_4$  и  $v_6$ , параметры кориолисова взаимодействия. Библ. 28.



1974

DCDO

Predi-dissociation model for  
formaldehyde

nugentous.

Yeung Edward S., Moore C.

J. Chem. Phys. 1974, 60(5) 2139-47  
(Eng)

C.A.1974.

80.

N24

(all HCHO; III)

40515.8764  
TE, Ch, Ph

40892

1974

~~Paco / предисслей 2074~~

Yeung Edward S., Moore C. Bradley.

Predissociation model for formaldehyde.

"J. Chem. Phys.", 1974, 60, N 5, 2139-2147

(см.  $\text{COH}_2$ ); III

(англ.)

10 34-47 0101 883

083 091

093

ВИНИТИ

$\text{P}_2\text{CO}$

Brand J.C.D. 1975  
'etal.

$\text{HDCO}$

Can. J. Chem.

car. noer.

verified noer. 1975, 53 n3,

437-41

(cell.  $\text{COCl}_2$ , III)

D<sub>2</sub>CO

Moule D.C., et.al.

1975

(u.n.) B97-6372-XIV, Chem Revs "1975,  
75, N1, 67-84 (ann)

(an H<sub>2</sub>CO; III)

$H_2CO$

ommca 4378

Thirugnanasambandam <sup>1975</sup>  
et al

ref.  
noem.  
H. R.

Indian. J. Phys., 1975,  
49(9), 658-67.

See  $H_2CO$ ; III

60219.3689

40392

1976

Ph, Ch, TC

*B<sub>2</sub>CO*

Х 45-11498

R

К р. № 60219.3688

Domcke W., — Cederbaum L.S. A many-body approach to the vibrational structure in molecular electronic spectra. II.

Application to nitrogen, carbon monoxide, and formaldehyde. "J. Chem. Phys." 1976, 64, № 2, 612-625 (англ.)

541 541

541

0554 ВМК ВИНИТИ

60407.1823

TC, MGU, Ch., Ph.

 $\text{H}_2\text{CO} / \text{D}_2\text{CO}$   
 $\text{HDCO} \quad 40892 \quad (\gamma)$ 

1976

ХУ-72257

Guyon Paul, Margot, Chupka William A.,  
 Borkowitz Joseph. Photoionization mass  
 spectrometric study of formaldehyde  $\text{H}_2\text{CO}$ ,  
 $\text{HDCO}$  and  $\text{D}_2\text{CO}$ .

"J. Chem. Phys.", 1976, 64, № 4, 1419-  
 1435 (загл.)

(6)

(дк  $\text{H}_2\text{CO}$ , II)

0594 НЕК

564 569

586

ВИНИТИ

D<sub>2</sub>CO

XIV-7668 1976

Lessard C. R., et al.

J. Mol. Spectrosc. 1976,  
60, N1-3, 343-7.

(V<sub>i</sub>, E<sub>i</sub>)

(all H<sub>2</sub>CO) II

1976

D<sub>2</sub>CO

7 Д964. Спектр магнитного кругового дихроизма  
паров формальдегида-*d*<sub>2</sub>. Linder Robert E., Barth  
Günter, Bünzenberg Edward, Djegassi  
Carl, Seamans Lloyd, Moscowitz Albert.  
The magnetic circular dichroism spectrum of formalde-  
hyde-*d*<sub>2</sub> vapor. «Chem. Phys. Lett.», 1976, 38, № 1, 28—  
32 (англ.)

У.оп. Синкір,

Изучены УФ-спектры поглощения и спектры магнит-  
ного кругового дихроизма (МКД) полностью дейтери-  
рованного газообразного формальдегида при т-ре  
115° С. Спектры исследовались в интервале длин волн  
290—400 нм со средним разрешением ~0,1 нм в кюве-  
те толщиной 10 см. Полосы поглощения и МКД, наб-  
людаемые в области 350—400 нм, приписаны синглет-

Ф 1976 № 7

триплетным переходам  $n \rightarrow \pi^*$ , а полосы в районе 290—350 нм — синглет-синглетным переходам  $n \rightarrow \pi^*$ . В области синглет-триплетных переходов зарегистрировано несколько не наблюдавшихся ранее полос. Проведен детальный анализ колебательной структуры наблюдаемых полос поглощения и МКД. Результаты сопоставлены с аналогичными данными для недействированного формальдегида. В результате удалось идентифицировать полосы, являющиеся членами колебательных прогрессий типов А, В, F и X. Проведенное отнесение согласуется с данными, полученными при исследовании спектров поглощения высокого разрешения. Библ. 15.

С. П. Козел

*CD<sub>2</sub>O*

*XCS-18242.*

*1977*

8 Д476. Лазерная штарковская спектроскопия формальдегида-*d*<sub>2</sub>. Кориолисово взаимодействие основных колебаний ν<sub>4</sub> и ν<sub>6</sub>. Coffey Dewitt, Jr, Yamada Chikashi, Hirota Eizi. Laser Stark spectroscopy of formaldehyde-*d*<sub>2</sub>. The coriolis coupled ν<sub>4</sub> and ν<sub>6</sub> fundamentals. «J. Mol. Spectrosc.», 1977, 64, № 1, 98—108 (англ.)

*спектр  
ИК  
поглощ.*

С помощью лазеров CO<sub>2</sub> и N<sub>2</sub>O получены штарковские спектры ИК-поглощения газообразного CD<sub>2</sub>O в области полос ν<sub>4</sub> и ν<sub>6</sub>. Наблюденны колебательно-вращательные переходы с правилами отбора *M*=0, для анализа использованы линии с *M*=*J*. Приведены значения резонансного поля для 19 линий полосы ν<sub>4</sub> и 9 линий полосы ν<sub>6</sub>. При отнесении использован знак штарковского сдвига. Описан метод вращательного анализа спектра молекул типа асимметричного волчка с учетом кориолисова взаимодействия. С привлечением микроволни. данных определены колебательные частоты, вращательные постоянные *A*, *B*, *C* и дипольные моменты в возбужденных колебательных состояниях и константа кориолисова взаимодействия ε<sub>46</sub>. Библ. 28.

*4-1977  
N 8*

D<sub>2</sub>CO

Lönnqvist 5089)

Dreicer-Lessard C.R. 1977

enrekmp  
nowous.  
J, ell.n.

"Chem. Phys. Lett"

1977, 47, N2, 300-303

(airw)

(all H<sub>2</sub>CO;  $\frac{1}{2}$ )

N<sub>2</sub>CO

1977

Tessard C.R., et al.

(Zuckm.  
enzykm.)

J. Chem. Phys., 1977,  
66 N.g., 3908-18

(a.u.: H<sub>2</sub>CO; III)

D<sub>2</sub> CO

Ramaswamy K.,  
Chandrasekaran V  
1974

ref no.

acta phys. pol., 1974,  
A59, v1, 51-60.

φ 1974 σ9

Cee Ma CO; III

$H_2CO$ ,  $D_2CO$  (cc.n.) XIV 9124 1978

Rangoisse D., Willemot S., Bellet J.  
*J. Mol. Spectrosc.*, 1978, 71, n°1-3, 414-  
-429 (arcs.)

microwave spectrum of for-  
maldehyde and its isotopic species  
in  $D$ ,  $^{13}C$  and  $^{18}O$ . Study of Coriolis  
resonance between  $v_4$  and  $v_6$  vibrati-  
onal oxides states.

prelim., 1978, 245 286

(10)

(4)

D<sub>2</sub>CO

1978

Mollna L. T. et al.

сверху  
распредел.

J. Phys. Chem., 1978, 82,  
N 24, 2575-2578.



(ccs. HzCO )  $\bar{\pi}$

XIV-9168

1978

CD<sub>2</sub>O

1 Д399. Анализ интенсивности ИК-полос колебаний молекул типа MXY<sub>2</sub>. Naik Pratibha, Kajeswara Rao N. Infrared intensity analysis of some MXY<sub>2</sub> type molecules. «Pramana. J. Phys.», 1978, 10, № 2, 207—212 (англ.)

Проведен теоретич. анализ интенсивностей ИК-полос

колебаний молекул типа MXY<sub>2</sub>, принадлежащих группе симметрии  $C_{2v}$ . Получены выражения, связывающие интенсивность ИК-полос колебаний типа симметрии  $a_1$ ,  $b_1$  и  $b_2$  и электрооптич. параметры исследованных молекул. Значения молекулярных дипольных моментов получены на основании измерений диэлектрич. постоянных. Предположено, что дипольные моменты связей C=O и C=S приблизительно равны. Определены постоянные валентного силового поля CD<sub>2</sub>O. Значения дипольных моментов связи C=O равны 1,9052 (для CH<sub>2</sub>O); 1,1517 (COCl<sub>2</sub>); 0,6340 (COF<sub>2</sub>) и 0,7687 (COBr<sub>2</sub>). Аналогичные величины для связи C=S составляют 0,2473 и 0,2983 для молекул CSF<sub>2</sub> и CSCl<sub>2</sub> соответственно.

И. В. А.



72

CSF<sub>2</sub>

CSCl<sub>2</sub>

Ф. 1949, № 1

Ф2 СО

XIV-92B

1979

2 Д350. Магнитная оптическая активность системы  $\tilde{A}_1A_2 - \tilde{X}^1A_1$  формальдегида- $d_2$ . Magnetic optical activity in the  $\tilde{A}^1A_2 - \tilde{X}^1A_1$  system of formaldehyde- $d_2$ . Ваг-  
лэtt M., Ramsay D. A., Till S. M. «Chem. Phys.  
Lett.», 1979, 65, № 3, 440—443 (англ.)

Исследованы спектры магн. вращения формальдегида- $d_2$  в области полос  $4_0^1$  и  $4_0^3$  системы  $\tilde{A}^1A_2 - \tilde{X}^1A_1$ . Обна-  
ружены вращательные уровни возбужденного состоя-  
ния, для которых проявляются синглет-триплетные взаи-  
модействия. Библ. 15.

О. В. С.

Ф.1980.12

XIV-92 93

в. демьянович 1979

3 Б240. Магнитная оптическая активность в  $A^1A_2 - X^1A_1$  системе формальдегида- $d_2$ . Bargnett M., Ramsay D. A., Till S. M. Magnetic optical activity in the  $A^1A_2 - X^1A_1$  system of formaldehyde- $d_2$ . «Chem. Phys. Lett.», 1979, 65, № 3, 440—443 (англ.)

Измерены спектры магнитной оптич. активности (МОА) формальдегида- $d_2$  (I) в области 4000—2900 Å и сфотографированы при высоком разрешении. Обнаружено 7 полос. Проведено отнесение наблюдавшихся полос МОА. Предположено, что наблюдавшаяся МОА обусловлена  $4_0^1$  и  $4_0^3$  полосами  $A^1A_2 - X^1A_1$  системы причем МОА значительно больше в области  $4_0^3$  полосы. Авторы связывают эту МОА с синглет-триплетным возмущением. Идентифицированы возбужденные состояния вращательных уровней, участвующих в этих возмущениях.

В. Демьянович

Х. 1980.13

D<sub>2</sub>CO  
HDCO

Список 8096

1979

11 Д978. Спектры флуоресценции, радиационные времена жизни и скорости колебательной релаксации колебательных уровней 4<sup>0</sup> и 4<sup>1</sup> молекул D<sub>2</sub>CO и HDCO ( $A^1A_2$ ). Shibuya Kazuhiko, Holtermann Dennis L., Peacock Jon R., Lee Edward K. C. Fluorescence emission spectroscopy, radiative lifetimes, and vibrational relaxation rates of the 4<sup>0</sup> and 4<sup>1</sup> single vibronic levels of D<sub>2</sub>CO and HDCO ( $A^1A_2$ ). «J. Phys. Chem.», 1979, 83, № 8, 940—944 (англ.)

В области 360—490 нм исследована колебательная структура спектра флуоресценции газообразных молекул D<sub>2</sub>CO и HDCO, возбуждавшихся в состояния  $A^1A_2$  (4<sup>0</sup>, 4<sup>1</sup>) излучением импульсного лазера на красителе. Определены величины отношений излучательных времен жизни уровней 4<sup>1</sup>/4<sup>0</sup>:  $0,82 \pm 0,08$  и  $0,72 \pm 0,15$  для D<sub>2</sub>CO и HDCO соответственно. Константы скорости колебательной релаксации  $4^1 \rightarrow 4^0$  в столкновениях с невозбужденными молекулами равны (в  $\text{см}^3 \cdot \text{молек}^{-1} \cdot \text{сек}^{-1}$ ):  $9,4 \cdot 10^{-10}$  для D<sub>2</sub>CO и  $17 \cdot 10^{-10}$  для HDCO.

спектр  
флуоресц

9.1979 VII

М. Т.

24 Б152. Спектры флуоресценции, излучательные времена жизни и скорости колебательной релаксации отдельных вибронных уровней  $4^0$  и  $4^1$  D<sub>2</sub>CO и HDCO ( $A'A_2$ ). Shibuya Kazuhiko, Holtermann Dennis L., Peacock Jon R., Lee Edward K. C. Fluorescence emission spectroscopy, radiative lifetimes, and vibrational relaxation rates of the  $4^0$  and  $4^1$  single vibronic levels of D<sub>2</sub>CO and HDCO ( $A'A_2$ ). «J. Phys. Chem.», 1979, 83, № 8, 940—944 (англ.)

Измерена относит. интенсивность полос (прогрессии по  $v_2$  и  $v_4$ ) в спектрах флуоресценции (360 и 490 нм) молекул D<sub>2</sub>CO и HDCO с уровнем  $4^1$  и  $4^0$  состояния  $A'A_2$  (возбуждаемый переход  $4o^1$ , A—X,  $\lambda \sim 353$  нм). Исследовано влияние давления буферного газа (n-C<sub>4</sub>H<sub>10</sub>) на относит. интенсивность полос  $4_2^1$  и  $4_1^0$  в спектре. Определены величина отношения излучательных времен жизни для состояний  $4^1$  и  $4^0$  [ $\tau_R(4^1)/\tau_R(4^0) = 0,82 \pm 0,08$  для D<sub>2</sub>CO и  $0,72 \pm 0,15$  — для DHCO] и значения константы скорости ( $K_{10, P}$ ) колебательной релаксации  $4^1 \rightarrow 4^0$  при столкновении с молекулами в основном электронном состоянии [ $K_{10, P} D_2CO = 9,4 \cdot 10^{-10}$  и  $K_{10, P} (HDCO) = 17 \cdot 10^{-10}$  см<sup>3</sup>/молекул сек]. Отмечается, что полученные величины  $K_{10, P}$  превышают газокинетич. скорости

D<sub>2</sub>CO

HDCO

спектр флуоресц.

(+) 8

Х. 1979, № 34

8096

Синий

соотв. в 3 и 5 раз и больше скоростей электронной  
релаксации в 30—50 раз.

В. М. Ковба

при  
М..

$\text{CH}_2\text{O}^+$

[Dunmire 10812]

1980.

( $\bar{A}\bar{B}_i$ )

Bauback R; et al.

proposed  
concept

( $\text{C}$ )

Chem. Phys. Lett.; 1980,  
77 (2), 399-402

*D<sub>2</sub>CO*

15 Б171. Исследование вращательной релаксации  
 $D_2CO(\tilde{A}^1A_2, 4^1)$  по разрешенным во времени, диспергированным спектрам испускания флуоресценции. F al g-  
child Paul W., Lee Edward K. C. Rotational relaxa<sup>1980</sup>  
tion of  $D_2CO(\tilde{A}^1A_2, 4^1)$  studied by time-resolved,  
dispersed fluorescence emission spectra. «J. Phys. Chem.»,  
1980, № 25, 3346—3348 (англ.)

*1.1.1.*

Получен разрешенный во времени спектр испускания флуоресценций эмиссионной полосы  $4_2^1$  молекулы  $D_2CO(S_1)$  (при давлении 25 мТорр). Вращательная структура испускания резонансной флуоресценции с возбужденного вращательного подуровня  $J'=14$ ,  $K'=19$  вибранного уровня  $4^1$  частично разрешена. Приготовление возбужденных молекул осуществляли через  $\tilde{A}^1A_2 \leftarrow \leftarrow \tilde{X}^1A_1 4_0^1 R_8$  (13) переход с частотой 25426,7 см<sup>-1</sup> с помощью перестраиваемого лазера на красителе. Наблюдаются три подполосы  $r$ -типа  ${}^rR$ ,  ${}^rQ$ ,  ${}^rP$  (очень слабая) и три  $p$ -типа  ${}^pR$  (очень слабая),  ${}^pQ$ ,  ${}^pP$ . Из анализа полученного спектра испускания флуоресценции полосы  $4_2^1 D_2CO$  установлено, что скорость вращательной релаксации, обусловленная столкновениями, несколько меньше, чем скорость  $4^1 - 4^0$  колебательной релаксации.

В. М. Михайлов

*Х-1981. N/15*

$H_2CO$ , f( $\nu n$ )  $\bar{XIV}-9491$

1980

D<sub>2</sub>CO

Gregory A. R., Kidd K., G.,

Chem. Phys. Lett., 1980, 72, v2, 385-387  
(caen)

Vibrational frequencies of the A( $'S_2$ )  
and  $\varphi(^3P_2)_{\pi\pi^*}$  states of formaldehyde. Se-  
lected ab initio force fields - a new applicatio-

Rugby, 1980, 110144 10

(p)

*D<sub>2</sub>CO*

*HDCO*

(+)

16.20

15 Б197. Спектры молекул D<sub>2</sub>CO и HDCO с разрешенной вращательной структурой, полученные методом инфракрасно-ультрафиолетового двойного резонанса. Ogg B. J., Nutt G. F. Rotationally resolved infrared-ultraviolet double resonance spectroscopy in molecular D<sub>2</sub>CO and HDCO. «J. Mol. Spectrosc.», 1980, 84, № 1, 272—287 (англ.)

Методом ИК-УФ-двойного резонанса (DP) исследованы ровибронные переходы в полосах  $\tilde{A} \leftarrow X$  электронной системы молекул D<sub>2</sub>CO и HDCO. Описана двухступенчатая схема возбуждения с общим промежутком уровнем в DP. Приведена блок-схема установки DP. В качестве источников излучения использованы импульсный CO<sub>2</sub> и перестраиваемый на красителе лазеры. Импульсы CO<sub>2</sub> лазера и лазера на красителе в DP синхронизованы, т. о., чтобы задержка импульса лазера на красителе, определяемая временем вращательной релаксации возбужденного колебательно-вращательного уровня, составляла менее микросекунды для давления исследуемого образца порядка 10 мТорр.

2.1981.115

Наличие DP детектировалось наблюдением флуоресценции из возбужденного вибронного состояния. Для молекулы  $D_2CO$  накачка ИК-излучением  $CO_2$ -лазера приводила к 100-кратному увеличению заселенности вращательных подуровней  $v_4=1$  уровня  $\tilde{X}^1A$  основного электронного состояния, последующее возбуждение  $4_1^{\circ}$  полосы  $\tilde{A}^1A_2 \leftarrow \tilde{X}^1A_1$  электронной системы осуществлялось накачкой УФ-излучением лазера на красителе. Эта методика при применении к молекуле  $HDCO$  включала накачку на  $v_6=1$  и  $v_5=1$  уровни и возбуждение  $6_1^{\circ}$  и  $5_1^{\circ}$  полос  $\tilde{A} \leftarrow X$ -системы. Представлен DP спектр молекул  $D_2CO$  и  $HDCO$  и проведена его идентификация. Наблюдаются 10 УФ-переходов в  $D_2CO$  и 25 УФ-переходов в  $HDCO$ . Отмечено удовлетворительное согласие между предсказанными и наблюденными частотами и относит. интенсивностями УФ-переходов. Результаты по спектроскопии DP сопоставлены с результатами по спектроскопии ИК- и УФ-поглощения, лазерного Штарк-эффекта, ИК-РЧ-двойного резонанса.

В. М. Михайлов

1980

D<sub>2</sub>CO  
HDCO

8 Р743. Вращательно-разрешенная спектроскопия двойного ИК—УФ-резонанса в молекулах D<sub>2</sub>CO и HDCO. Rotationally resolved infrared-ultraviolet double resonance spectroscopy in molecular D<sub>2</sub>CO and HDCO. Огг Brian J., Нутт Гагу F. «J. Mol. Spectrosc.», 1980, № 1, 272—287 (англ.)

Методом двойного ИК—УФ-резонанса с применением CO<sub>2</sub>-лазера и перестраиваемого лазера на красителе исследованы молекулы D<sub>2</sub>CO и HDCO. Для D<sub>2</sub>CO ИК-накачка в ~100 раз увеличивала заселенность отдельных вращательных уровней состояния X<sup>1</sup>A<sub>1</sub>, v<sub>4</sub>=1, переходы с которых затем наблюдались по флуоресценции, возбуждаемой перестраиваемым лазером на красителе в полосе 4<sub>1</sub><sup>0</sup>Å<sup>1</sup>A<sub>2</sub>—X<sup>1</sup>A<sub>2</sub>. Для HDCO ИК-накачка увеличивала заселенность вращательных уровней состояний v<sub>6</sub>=1 и v<sub>3</sub>=1, а флуоресценция возбуждалась в полосах 6<sub>1</sub><sup>0</sup> и 5<sub>1</sub><sup>6</sup> Å—X. Выполнен детальный анализ спектров. Результаты хорошо согласуются с данными ИК- и УФ-спектроскопии, лазерной штарковской спектроскопии и спектроскопии двойного ИК-радиочастотного резонанса. В спектрах зарегистрирована также сателлитная структура, обусловленная индуцированной столкновениями вращательной релаксацией промежуточных. Библ. 29.

В. С. Иванов

Синтез  
φ. 1981/18

*D<sub>2</sub>CO*

*1980*

9 Б160. Инфракрасный-ультрафиолетовый двойной резонанс: изучение молекулярных спектров и переноса энергии. Огг В. Дж., Нутт Г. Ф. Infrared—ultraviolet double resonance: studies of molecular spectroscopy and energy transfer. «Mol. Phys. and Quantum Chem. into '80's. Workshop, Wollongong, Febr., 1980». S. I.; s. a., 2/4.1—2/4.5. Discuss., 2/4.6 (англ.)

На примере молекулы D<sub>2</sub>CO (I) продемонстрировано применение техники спектроскопии двойного инфракрасного-ультрафиолетового резонанса для изучения колебательно-вращательных спектров и межмолек. переноса энергии.

А. Н. Курский

X. 1982, 19, N9.

1980

8 Д504. ИК—УФ-двойной резонанс в парах D<sub>2</sub>CO.  
Infrared-ultraviolet double resonance in D<sub>2</sub>CO vapor.  
Огг Вгіап J., Nuti Gary F. «Opt. Lett.», 1980, 5,  
№ 1, 12—14 (англ.)

С использованием импульсного CO<sub>2</sub>-лазера и лазера на красителях с перестраиваемой частотой зарегистрирован двойной ИК—УФ-резонанс в парах D<sub>2</sub>CO. Помощью ИК-излучения осуществлялось возбуждение D<sub>2</sub>CO из основного состояния в колебательное состояние  $\nu_4$  с последующим вибронным переходом  $4_1^0$  под действием лазерного УФ-излучения. Наличие резонанса регистрировалось по люминесценции на длине волны 420 нм. Обнаружена вращательная структура резонанса, находящаяся в хорошем соответствии с литературными данными о вращательной структуре вибронной полосы  $4_1^0$  (365 нм). Н. Ф.

Ф. 1981 N 8

№ 10

1981

16 Л130. Зондирование насыщенных энергетических уровней молекул методом инфракрасно-радиочастотного двойного резонанса. Probing the dressed molecule energy levels by infrared-radiofrequency double resonance. Jacques A., Glorieux P. «Laser Spectrosc. 5. Proc. 5 Int. Conf., Jasper, 29 June—3 July, 1981». Berlin e. a., 1981, 140—145 (англ.).

Описан принцип внутрирезонаторной лазерно-РЧ-спектроскопии, когда используются два РЧ-поля, одно из которых насыщает молекулярный переход, а другое служит зондирующим полем. Выполнены эксперименты по этому принципу с молекулами  $D_2CO$  и  $CH_3J$ . При этом использовались  $CO_2$ -лазер и РЧ-источники с частотами, близкими к частотам переходов между компонентами  $K$ -удвоения  $D_2CO$  и СТС  $CH_3J$ . С ростом мощности зондирующего поля наблюдались многофотонные резонансы с участием до четырех фотонов поля накачки и одного фотона зондирующего поля.

М. Р. Алиев

φ. 1984, 18, № 6

8(1)

*D<sub>d</sub> CO*

1981

4 Д568. Анализ полос  $4_0^0$  и  $4_0^2$  системы  $\tilde{a}^3A_2 - \tilde{X}^1A_1$  молекулы D<sub>2</sub>CO. An analysis of the  $4_0^0$  and  $4_0^2$  bands of the  $\tilde{a}^3A_2 - \tilde{X}^1A_1$  system of D<sub>2</sub>CO. Judge J. H., Moule D. C. «J. Mol. Spectrosc.», 1981, 89, № 2, 276—284 (англ.)

Выполнен вращательный анализ полос  $4_0^0$  и  $4_0^2$  системы  $\tilde{a}^3A_2 - \tilde{X}^1A_1$  в спектре поглощения D<sub>2</sub>CO. Определены спектроскопич. постоянные. Предложена модель виеплоскостного колебания  $Q_4$ , позволившая описать наблюдаемые результаты. Определена молекулярная структура для уровней  $4^0$  и  $4^2$ , а также структуры, соответствующие вершине  $\theta=0$  и дну  $\theta=\theta_{\min}$  потенциала с двумя минимумами. Библ. 14.

*M. N.*

phi. 1982, 18, N 4.

198

*D<sub>2</sub>CO*

16 Б298. Исследование вращательной релаксации в D<sub>2</sub>CO методом двойного резонанса в инфракрасной и ультрафиолетовой областях. Ogg B. J., Haub J. G., Nutt G. F., Steward J. L., Vozzo O. Infrared-ultraviolet double-resonance studies of rotational relaxation in D<sub>2</sub>CO. «Chem. Phys. Lett.», 1981, 78, № 3, 621—625 (англ.)

Метод двойного резонанса в УФ- и ИК-областях с разрешением по времени (<100 нс) использован для изучения вращательной релаксации (ВР) в газ. D<sub>2</sub>CO (I) (давл. 20 мТорр). Молекулы I возбуждали излучением [линия генерации 10 P(16)] импульсного CO<sub>2</sub> лазера (947,742 см<sup>-1</sup>) в полосу поглощения (II) ν<sub>4</sub><sup>''</sup> колебательно-вращательного перехода <sup>r</sup>Q<sub>2</sub><sup>(e)</sup>(12). Для контроля параметров резонанса применяли перестраиваемый импульсный лазер на красителе, длину волны генерации к-рого изменяли вблизи колебательно-вращательного перехода <sup>r</sup>Q<sub>3</sub><sup>(o)</sup>(12) в «горячей» полосе 4<sub>1</sub><sup>o</sup> в

*вращат.  
релакс.*

*И. К. У. 90.  
Синтез.*

*2.1981.116*

спектре II  $A^1A_2 \leftarrow X^1A_1$  в I. Особенности электронного возбуждения, возникающие при двойном резонансе, детектировали по флуоресценции ( $\Phi$ ) I в видимой области ( $27\ 340$ — $27\ 325$  см $^{-1}$ ). Наблюдали вращательную релаксацию (ВР) с вращательного состояния  $12_{3,10}$  колебательного уровня  $v_4''=1$ . Показано, что при двойном резонансе основную роль играет выбор режима синхронизации импульсов ИК- и УФ-излучения. Рассмотрена схема ВР, согласно которой серии переходов, возбуждаемых столкновениями, происходят в соответствии с электродипольными правилами отбора. Исследована зависимость времени затухания  $\Phi$  с вращательных состояний уровня  $v_4''=1$ , участвующих в процессе ВР. В соответствии с моделью линейных ур-ний, определяющих изменение заселенностей состояний, вычислены константы скорости  $k_{\pm}=50 \pm 10$  и  $k_0=25 \pm 10$  мкс $^{-1} \cdot \text{мн}^{-1}$ , превращающие газокинетич. скорости столкновений (10 мкс $^{-1} \cdot \text{мм}^{-1}$  молекул). Н. Н. Морозов

$D_2$  CO

1982

Грибов Н. А. и сп.

расчеты Эй, Н. С. прилож. стеклоэро-

сил. косм. скопии, 1982, 36, №,

274-278.

(вид.  $H_2$  CO; III)

D<sub>2</sub>CO

[Омск 13823]

1982

Strickler S.,

Barrhart R. J.,

стекло

помоужен.,  
измерения.

J. Phys. Chem., 1982,

86, N.Y.; 448.-455.

$\text{ff}_2 \leftarrow \text{ff}_1$

D<sub>2</sub>CO

1983

ДВОЙНОЙ  
СХП - ОМ -  
РЯДЫ

# 100: 76582v Rotationally resolved Raman-optical double resonance with fluorescence detection. King, D. A.; Haines, R.; Isenor, N. R.; Orr, B. J. (Sch. Chem., Univ. New South Wales, Sydney, 2033 Australia). *Opt. Lett.* 1983, 8(12), 629-31 (Eng). A pulsed excitation sequence, consisting of coherent Raman pumping of a mol. rovibrational transition followed by rovibronic probing through visible laser-induced fluorescence, was used in Raman-optical double resonance studies of D<sub>2</sub>CO. The expts. demonstrate enhanced sensitivity, with respect to conventional coherent Raman spectroscopy, and enable individual O- and P-branch Raman transitions to be distinguished with high specificity under effectively collision-free conditions.

©.A.1984, 100, N10

*D<sub>2</sub>CO*

*От 21.2.80 1984*

10 л 155. Полосы  $v_1$  и  $v_5$  D<sub>2</sub>CO и уточненные постоянные основного состояния. The  $v_1$  and  $v_5$  bands of D<sub>2</sub>CO and improved ground state constants. Clae H.-J., Yamada K., Birss F. W., Winnewisser G., Gush H. P. «Can. J. Phys.», 1984, 62, № 12, 1834—1843 (англ.; рез. фр.)

При помощи спектрометра на перестраиваемом одном лазере и фурье-спектрометра с разрешением  $\sim 4 \cdot 10^{-3}$  см<sup>-1</sup> зарегистрирован ИК-спектр поглощения D<sub>2</sub>CO при комнатной т-ре в области колебательно-вращательных полос  $v_1(A_1)$  и  $v_5(B_2)$ . Для указанных полос с точностью  $1 \cdot 10^{-3}$  см<sup>-1</sup> измерены частоты примерно 1600 линий вращательной структуры и предложена их интерпретация. Совместная обработка измеренных значений с литературными данными по микроволновому спектру D<sub>2</sub>CO позволила с большой точностью определить молекулярные постоянные основного колебательного состояния D<sub>2</sub>CO. Отмечено, что некоторые подполосы  $v_1$  и  $v_5$  испытывают ферми- и кориолисово возмущения со стороны составных  $v_3+v_4$ ,  $v_3+v_6$  и обертонных  $2v_3$ ,  $2v_6$  полос D<sub>2</sub>CO. Библ. 24.

В. К.

*cf. 1985, 18, N 10*

D<sub>2</sub>CO

DM. 21200 1984

102: 86768r The  $\nu_1$  and  $\nu_5$  bands of formaldehyde-d<sub>2</sub> and improved ground state constants. Clar, H. J.; Yamada, K.; Birss, F. W.; Winnewisser, G.; Gush, H. P. (1. Phys. Inst., Univ. Koeln, 5000 Cologne, 41 Fed. Rep. (Ger.). *Can. J. Phys.* 1984, 62(12), 1834-43 (Eng). The sym. and antisym. C-D stretching vibrations of D<sub>2</sub>CO, the  $\nu_1$  and  $\nu_5$  fundamental bands, were measured with high-resoln. spectrometers. The region near the origin of the  $\nu_1$  band, 2026-2087 cm<sup>-1</sup>, was recorded by a tunable, diode laser spectrometer with Doppler-limited resoln. and an accuracy of ~0.001 cm<sup>-1</sup>. The measurements were extended to the region between 2000 and 2300 cm<sup>-1</sup> by using a BOMEM Fourier transform spectrometer at the University of British Columbia. The limit of instrumental resoln. was 0.004 cm<sup>-1</sup>. About 600 lines were assigned to the  $\nu_1$  fundamental band and >1000 to the  $\nu_5$  band. The band origins were found at  $\nu_1 = 2060.917$  cm<sup>-1</sup> and  $\nu_5 = 2162.922$  cm<sup>-1</sup>. From the assigned transitions in the  $\nu_1$  and  $\nu_5$  bands, IR combination differences for the ground state were performed. By fitting the 1230 combination differences simultaneously with the published microwave data, a complete set of very accurate mol. parameters were achieved for the ground vibrational state of D<sub>2</sub>CO. Both excited states  $\nu_1 = 1$  and  $\nu_5 = 1$  were strongly perturbed by other states owing to Fermi and Coriolis interactions. Thus, only rough estns. for the rotational consts. of these states can be given. Possible interactions are discussed.

( $\nu_1$ ,  $\nu_5$ )

C.A. 1985, 102, N10

$D_2$ -CO

1983

Faibel Manfred.

семинар Adv. Atom. and Mol.

Braunau. Phys. Vol. 19. New York

Бозбунег. л. а., 1983, 345-394.

(cис.  $Na_2$ -Ar; II)

$\text{H}_2\text{CO}$

1984

Maessen Bärbel,  
Wolfsberg Max.

pacienti El., J. Chem. Phys., 1984,  
u. n. 80, N 10, 4657 - 4662.

(see.  $\text{H}_2\text{CO}$ ; III)

$H_2$  CO.

1984

Maeser Bärbel,  
Wolfsberg Ilse.

Cer. Noeher.

Z. Phys. Chem., 1984,  
88, N25, 6420-6423.

(Cer.  $H_2$  CO; III)

*D<sub>2</sub>CO*

*Om. 20432*

*1984*

10 Б1215. Инфракрасная-микроволновая двухфотонная спектроскопия полос  $\nu_4$  и  $\nu_6$   $D_2CO$ . Infrared-microwave two-photon spectroscopy of the  $\nu_4$  and  $\nu_6$  bands of  $D_2CO$ . Nakagawa Kuniaki, Schwendeman R. H. «J. Mol. Spectrosc.», 1984, 108, № 2, 276—286 (англ.)

Исследованы двухфотонные ИК—МВ-спектры  $D_2CO$  в области полос  $\nu_4$  и  $\nu_6$ . Измерения проводились на 48 линиях  $CO_2$  лазера в области 10 мкм путем сканирования МВ-частоты в диапазоне 8—18 ГГц. Результаты проанализированы совместно с неопубликованными ранее данными одного из авторов по колебательно-вращательным спектрам поглощения  $D_2CO$  (полосы  $\nu_3$ ,  $\nu_4$ ,  $\nu_6$  разрешение  $0,07 \text{ см}^{-1}$ ), а также данными, полученными методами ИК-лазерной штарковской и МВ спектроскопии. Значения  $\nu_0$  и вращат. мол. постоянных  $A$ ,  $B$ ,  $C$ ,  $D_I$ ,  $D_{IK}$ ,  $D_K$ ,  $\delta_I$ ,  $\delta_K$   $D_2CO$  (в МГц): основное

*M. N., D<sub>i</sub>:*

*X. 1985, 19, N/10*

кол. состояние — 0; 141653,5; 32283 57; 26185,34;  
0,0531; 0,621; 4,50; 0,01148; 0,5157; состояние  $v_4 = 1$  —  
—28 121 507; 139,291; 31869 0; 26243,4; 0,047; —0,57; 21;  
—0,01; 0,2; состояние  $v_6 = 1$  —29 656 983; 143 754,  
32 2382,6; 25 997; 0,060 3,51; 3,3; 0,012; 1,0; постоянная  
кориолисова взаимодействия  $\xi_{46} = 134\ 006$  МГц. Приве-  
дены выражения для сил линий двухфотонных перео-  
дов в молекулах типа асимм. ротора при параллель-  
ной и перпендикулярной ориентации плоскостей поля-  
ризации ИК- и МВ-излучения.

В. М. Ковба

*D<sub>2</sub>CO*

*01 20 432*

*1984*

4 Л142. Иинфракрасно-микроволновая двухфотонная спектроскопия полос  $\nu_4$  и  $\nu_6$  молекулы D<sub>2</sub>CO. Infrared-microwave two-photon spectroscopy of the  $\nu_4$  and  $\nu_6$  bands of D<sub>2</sub>CO. Nakagawa Kuniaki, Schweideman R. H. «J. Mol. Spectrosc.», 1984, 108, № 2, 276—286 (англ.)

С использованием CO<sub>2</sub>-лазера и кластронов исследованы спектры двухфотонного ИК-МВ-поглощения полос  $\nu_4$  (938 см<sup>-1</sup>) и  $\nu_6$  (989 см<sup>-1</sup>) молекулы D<sub>2</sub>CO. При перестройке МВ-частоты в диапазоне 8—18 ГГц и по 48 линиям CO<sub>2</sub>-лазера обнаружено и идентифицировано около 180 сигналов двухфотонного поглощения или двойного резонанса, по которым найдены частоты 10 переходов в полосе  $\nu_4$  и 32 переходов в полосе  $\nu_6$ . Анализ полученных частот выполнен совместно с литературными данными по МВ-спектрам основного и возбужденных состояний и по лазерному штарковскому спектру с учетом кориолисового резонанса между  $\nu_4$  и  $\nu_6$ . Определены значения вращательных и квартичных центробежных постоянных для основного ( $v=0$ ) и возбужденных ( $v_4=1$  и  $v_6=1$ ) состояний и постоянной кориолисова взаимодействия.

М. Р. Алиев

*M. R. Aliyev*

*Ф. 1985, 18, N.Y.*

D<sub>2</sub>CO

HDCO

1984

7 Л175. Разрешенный во времени ИК—УФ двойной резонанс в D<sub>2</sub>CO и HDCO. Спектроскопические приложения. Time-resolved infrared-ultraviolet double resonance in D<sub>2</sub>CO and HDCO. Spectroscopic applications. Огг Вриан J., Науб John G. «J. Mol. Spectrosc.», 1984, 103, № 1, 1—25 (англ.)

Получены спектры двойного ИК—УФ-резонанса газообразных D<sub>2</sub>CO и HDCO. Для накачки используется импульсный лазер CO<sub>2</sub>, частоты которого совпадают с ν<sub>4</sub> или ν<sub>6</sub> D<sub>2</sub>CO и ν<sub>5</sub> или ν<sub>6</sub> HDCO в основном состоянии молекул X<sup>1</sup>A<sub>1</sub>. В качестве пробного взят лазер на краисителе, возбуждающий флуоресценцию в электронной системе A<sup>1</sup>A<sub>2</sub>←X<sup>1</sup>A<sub>1</sub>. Длительность импульсов и низкое давление газа обеспечивают отсутствие влияния релаксации

спектр, II-1,

сб. 1984, 18, № 7

ционных процессов на сигналы двойного резонанса. Приведены частоты и отнесение наблюденных линий, обсуждаются механизмы их возбуждения. Показана преимущественная роль горячих однофотонных переходов по сравнению с двухфотонными с основного уровня. Рассмотрено влияние совпадения частот накачки с молекулярными, роль уширения излучением накачки и др. вопросы двойного резонанса. Библ. 26.

М. В. Т.

*D<sub>2</sub>CO*

1984

11 Л254. Межмодовая передача колебательной энергии в D<sub>2</sub>CO: данные о кориолисово усиленной вращательной селективности. Mode-to-mode vibrational energy transfer in D<sub>2</sub>CO: evidence of coriolis-enhanced rotational selectivity. Найд J. G., Офф B. J. «Chem. Phys. Lett.», 1984, 107, № 2, 162—167 (англ.)

Методом двойного ИК-УФ-резонанса с разрешением по времени исследован процесс передачи колебательной энергии между модами ν<sub>6</sub> и ν<sub>4</sub> в молекулах D<sub>2</sub>CO и HDCO. Впервые получены экспериментальные подтверждения необычно быстрого межмодового обмена энергией, которое объясняется кориолисовым взаимодействием, принимающих участие в процессе колебательно-вращательных состояний и существованием вращательно-специфических квазирезонансных релаксационных каналов.

Е. П. Смирнов

*Vi, M.P.*

*cb. 1984, 18, n 11*

D<sub>2</sub> CO

1984

Köhler H.-J., Free-  
wert J., et al.

Pi, circ. roct., J. ellol. Struct., 1984,  
200emp., 108, n 3-4, Suppl.:  
Theochem, 17, n 3-4,  
299-306.

(cet. CH<sub>4</sub>; III)

D<sub>2</sub>CO

DM 18366

1984

100: 76496v Time-resolved infrared-ultraviolet double resonance in formaldehyde (D<sub>2</sub>CO and HDCO): spectroscopic applications. Orr, Brian J.; Haub, John G. (Sch. Chem., Univ. New South Wales, Sydney, 2033 Australia). *J. Mol. Spectrosc.* 1984, 103(1), 1-25 (Eng). Spectroscopic results, from an extensive study of rotationally resolved IR-UV double resonance (IRUVDR) effects in D<sub>2</sub>CO and HDCO, are reported. The expts. involve rovibrational pumping (in the  $\nu_4$  or  $\nu_6$  bands of D<sub>2</sub>CO and the  $\nu_5$  or  $\nu_6$  bands of HDCO) and rovibronic probing of the A<sup>1</sup>A<sub>2</sub>-X<sup>1</sup>A<sub>1</sub> electronic system (in the 4<sub>01</sub> or 6<sub>01</sub> bands of D<sub>2</sub>CO and the 5<sub>01</sub> or 6<sub>01</sub> bands of HDCO) with visible-fluorescence detection, using sequential pulsed excitation by CO<sub>2</sub> and dye lasers. A remarkable result is the observation of IRUVDR rovibronic features in the very weak and heavily overlapped 6<sub>01</sub> band of D<sub>2</sub>CO, which has not previously been detected by conventional means. Further expts. which probe the 4<sub>12</sub> band of D<sub>2</sub>CO are interpreted in terms of single-photon rovibrational pumping in the (2 $\nu_4$  -  $\nu_4$ ) hot band, rather than 2-photon pumping in the 2 $\nu_4$  band. The results reported are obtained under effectively collision-free conditions, achieved by maintaining the product of pump-probe delay and sample pressure below ~10 ns torr, collision-induced rotational and rovibrational relaxation is apparent when this

(HDC)

c. A. 1984, 100, N 10



HDCO

product is increased. Other aspects of the IRUVDR technique which are considered include: the relation of IRUVDR results for D<sub>2</sub>CO and HDCO to coincidences between CO<sub>2</sub>-laser and mol. rovibrational frequencies, previously demonstrated by submillimeter optically pumped laser emission, IR-radiosfrequency double resonance, and Lamb-dip absorption studies; the role of satn. broadening in promoting multiple coincidences of mol. rovibrational transitions with a given CO<sub>2</sub>-laser line; relevance to mechanisms of IR multiple-photon excitation of D<sub>2</sub>CO; inconsistencies between obsd. IRUVDR signal intensities and those anticipated from rovibronic transition probabilities.

1985

4 Л204. Вариационные расчеты энергии колебательно-вращательных уровней  $X^1A_1$  формальдегида. Variational calculations of rotational-vibrational energy levels of formaldehyde  $X^1A_1$ . Maessen Bärgel, Wolfsberg Max. «J. Phys. Chem.», 1985, 89, № 18, 3876—3879 (англ.)

Для основного колебательного состояния  $H_2CO$  и  $D_2CO$  в приближении гамильтониана Уотсона выполнены расчеты положения вращательных уровней при значениях вращательного квантового числа  $J \leq 10$ . При  $J \leq 5$  аналогичный расчет выполнен для возбужденных состояний колебательных переходов  $v_4$  и  $v_3 + v_6$ . В расчете использован базис колебательно-вращательных ф-ций, представляющий произведение колебательных волн. ф-ций, симметризованных в отсутствие вращения, на вращательные волн. ф-ции симметричного ротора. Интегрирование по норм. координатам при определении матричных элементов производилось чис-

$D_i, \text{ll.} \pi;$

cf. 1986, 18, № 4

ленно, с использованием квадратур Гаусса—Эрмита.  
Представлено сравнение рассчитанных энергий вращательных уровней в основном колебательном состоянии  $\text{H}_2\text{CO}$  и  $\text{D}_2\text{CO}$  с наблюдаемыми в эксперименте. Показана необходимость учета взаимодействий Кориолиса при определении положения колебательно-вращательных уровней и воли. Ф-ций возбужденных колебательных состояний переходов  $v_4$  и  $v_3 + v_6$ . В. К.

$D_2$  CO

1985

Romanowski H.,  
Bowman J. M. et al.

u. n.

J. Chem. Phys., 1985,  
82, N 9, 4155-4165.

(cui.  $H_2$  CO;  $\text{II}$ )

1986

*D<sub>2</sub>CO*

23 Б4520. Скорости диссоциации индивидуальных состояний  $S_0$  формальдегида. Флуктуации и высота барьера. Dissociation rates for individual eigenstates of  $S_0$  formaldehyde: fluctuations and barrier height. Guyer Dean R., Polik William F., Moore C. Bradley. «J. Chem. Phys.», 1986, 84, № 11, 6519—6521 (англ.). Место хранения ГПНТБ СССР

*H<sub>2</sub>, H<sub>2</sub>O, D<sub>2</sub>O*

Исследована Фл молекул в пучке D<sub>2</sub>CO (I) под воздействием импульсного поляризованного лазерного излучения и получен штартковский спектр при напряженности эл. поля до 20 кВ. Обнаружено, что времена жизни индив. уровней  $J$ ,  $K$ ,  $|M|$  разрешенного уровня  $S_1$  различаются более чем на порядок. Ровибронные уровни состояний  $S_1$  и  $S_0$  перекрываются, что является причиной больших различий флуоресцентных времен жизни состояния  $S_1$ . Высота барьера на Пв потенциальной энергии  $S_0$  для диссоциации I на D<sub>2</sub> и CO составляет 79,1—82,2 ккал/моль. Для H<sub>2</sub>CO барьер имеет высоту 78,0—81,1 ккал/моль. Оба значения хорошо согласуются с результатами неэмпирич. расчетов.

Л. Ю. Русин

X. 1986, 19, n 23

$D_2$  CO

1987

106: 164841h High-resolution Fourier transform spectroscopy of formaldehyde-d<sub>2</sub> in the 8- to 12- $\mu$ m region. Nakagawa, Kuniaki; Schwendeman, R. H.; Johns, J. W. C. (Fac. Sci., Toyama Univ., Toyama, Japan 930). *J. Mol. Spectrosc.* 1987, 122(2), 462-76 (Eng). The Coriolis-coupled  $\nu_3$ (110 cm<sup>-1</sup>),  $\nu_5$ (989 cm<sup>-1</sup>), and  $\nu_4$ (935 cm<sup>-1</sup>) fundamental bands of D<sub>2</sub>CO were recorded with a BOMEM Model DA 3.002 Fourier transform spectrometer at an apodized resoln. of 0.004 cm<sup>-1</sup>. A total of 3704 transitions were assigned at 780-1200 cm<sup>-1</sup>. Consts. were detd. for terms up to  $P^6$  in centrifugal distortion and up to  $P^3$  in Coriolis interaction. These consts. reproduce the obsd. spectra with residuals for resolved lines that are <0.0004 cm<sup>-1</sup>, one-tenth of the resoln. Relative signs of the transition moments were detd. by comparison of obsd. and calcd. relative intensities of perturbed transitions. Five new assignments for far-IR laser lines pumped by CO<sub>2</sub> lasers were obtained as a result of calcns. based on the detd. consts.

( $\nu_4$ ,  $\nu_6$ ,  $\nu_3$ )

C. A. 1987, 106, N 20.

*D<sub>2</sub>CO*

*1987*

19 Б1308. Исследование спектра высокого разрешения молекулы D<sub>2</sub>CO в области 8—12 мкм на фурье-спектрометре. High-resolution fourier transform spectroscopy of D<sub>2</sub>CO in the 8- to 12- $\mu\text{m}$  region. Nakagawa Kuniaki, Schwendeman R. H., Johns J. W. C. «J. Mol. Spectrosc.», 1987, 122, № 2, 462—476 (англ.)

На фурье-спектрометре с разрешением 0,004 см<sup>-1</sup> исследован ИК-спектр поглощения молекулы D<sub>2</sub>CO в обл. 780—1200 см<sup>-1</sup>. Идентифицировано 3704 линий ( $J \leq 33$ ,  $K_a \leq 16$ ) вращат. структуры полос  $v_3$  (1100),  $v_4$  (938) и  $v_6$  (989 см<sup>-1</sup>). Анализ спектра выполнен с учетом квартичного и секстичного центробежного искажения и парных кориолисовых резонансов  $v_3 - v_4$ ,  $v_3 - v_6$  и  $v_6 - v_4$  1-, 2- и 3-го порядков (т. е. зависящих от  $J$ ,  $J^2$  и  $J^3$ ). Определены значения вращат. и центробежных постоянных и резонансных параметров. По кориолисовым возмущениям в распределении интенсивности линий определены знаки пр-ных дипольного момента по нормальным координатам.

Е. В. Алиева

*X. 1987, 19, N 19*

D<sub>2</sub> CO

O. N. 26297

1987

Ф 8 № 197. Фурье-спектроскопия высокого разрешения D<sub>2</sub>CO в области 8—12 мкм. High-resolution Fourier transform spectroscopy of D<sub>2</sub>CO in the 8- to 12 μm region. Nakagawa Kuniaki, Schwendeman R. H., Johns J. W. C. «J. Mol. Spectrosc.», 1987, 122, № 2, 462—476 (англ.)

В области основных колебательно-вращательных полос ν<sub>3</sub> (1100 см<sup>-1</sup>), ν<sub>6</sub> (989 см<sup>-1</sup>) и ν<sub>4</sub> (938 см<sup>-1</sup>), возмущенных взаимодействием Кориолиса, изучен ИК-спектр поглощения D<sub>2</sub>CO, полученный с помощью фурье-спектрометра. С разрешением 0,004 см<sup>-1</sup> измерены положения 3704 линий вращательной структуры полос. В результате анализа наблюдаемых структур, выполненного с учетом взаимодействий Кориолиса, дана интерпретация линий, найдены положения начала полос и определены значения молекулярных постоянных для основного и возбужденных колебательных состояний. Из сравнительного анализа наблюдаемых и рассчитанных интенсивностей линий определены относит. знаки моментов перехода. Библ. 27.

В. К.

оф. 1987, 18, № 8

D<sub>2</sub>CO

Om. 28487

1988

108: 103219f Submillimeter rotational transitions of a per-deuterated formaldehyde molecule. Baskakov, O. I.; Alekseev, E. A.; Dyubko, S. F.; Shevyrev, A. S. (USSR). *Opt. Spektrosk.* 1988, 64(1), 217-18 (Russ). Frequencies of the most intense transitions of D<sub>2</sub>CO were measured to be 400-500 GHz region with the accuracy of 50 kHz. Also, more accurate parameters of the effective rotational Watson Hamiltonian are presented.

(μ m creaking)

C.A. 1988, 108, N 12

D<sub>2</sub>CO

1988

(M. 28487)

12 Б1274. Субмиллиметровые вращательные переходы молекулы D<sub>2</sub>CO. Баскаков О. И., Алексеев Е. А., Дюбко С. Ф., Шевырев А. С. «Оптика и спектроскопия», 1988, 64, № 1, 217—218

Измерены частоты наиболее интенсивных переходов тяжелого формальдегида в диапазоне 400—500 ГГц и уточнены параметры эфф. вращат. гамильтониана Уотсона.

Из резюме

М.Н.

X. 1988, 19, N 12

$D_2CO$

(№ 28487)

6 Л180. Субмиллиметровые вращательные переходы молекулы  $D_2CO$ . Баскаков О. И., Алексеев Е. А., Дюбко С. Ф., Шевырев А. С. «Оптика и спектроскопия», 1988, 64, № 1, 217—218

Измерены частоты наиболее интенсивных переходов молекулы  $D_2CO$  в диапазоне 400—500 ГГц. Уточнены параметры эффективного вращательного гамильтониана Уотсона.

Т. Ф. Д.

М.П.

*D<sub>2</sub>CO*

*от 30.9.69* / 1988

5 Б1209. Высокоразрешенная спектроскопия возбуждения флуоресценции формальдегида-*d*<sub>2</sub> в состоянии *S*<sub>1</sub>. High-resolution fluorescence excitation spectroscopy of *S*<sub>1</sub> formaldehyde-*d*<sub>2</sub> / Frisoli J. K., Polik L. F., Moore C. B. // J. Phys. Chem.— 1988.— 92, № 19.— С. 5417—5425.— Англ.

Исследованы вращательно-разрешенные спектры возбуждения флуоресценции молекул формальдегида-*d*<sub>2</sub>, D<sub>2</sub>CO (I), охлаждаемых в сверхзвуковом молек. пучке He. Описана аппаратура для лазерного возбуждения и накачки молек. пучков, включающая одномодовый кольцевой лазер на красителях, импульсный усилитель на красителях, накачиваемый эксимерным XeCl-лазером. Проведено отнесение колебат. полос 4<sup>2</sup>, 2<sup>1</sup>4<sup>1</sup>, 1<sup>1</sup>4<sup>1</sup>, 5<sup>1</sup>, 2<sup>1</sup>4<sup>2</sup>6<sup>1</sup>, 2<sup>2</sup>4<sup>2</sup>, 2<sup>1</sup>5<sup>1</sup> и 2<sup>1</sup>4<sup>2</sup>5<sup>1</sup> в состоянии  $\tilde{A}^1A_2$  молекул I. Получены вращат. константы и определены нулевые линии каждой колебат. полосы. Установлены нек-рые новые колебат. полосы и измерены положения центров полос с точностью 1 см<sup>-1</sup>.

Н. Н. Морозов

*X. 1989, № 5*

D<sub>2</sub>CO

On 30/9/69

1988

109: 138046v High-resolution fluorescence excitation spectroscopy of Si formaldehyde-d<sub>2</sub>. Frisoli, Joan K.; Polik, William F.; Moore, C. Bradley (Dep. Chem., Univ. California, Berkeley, CA 94720 USA). *J. Phys. Chem.* 1988, 92(19), 5417-25 (Eng).

Rotationally resolved fluorescence excitation spectra are assigned and assigned for vibrational bands 4<sup>2</sup>, 214<sup>1</sup>, 114<sup>1</sup>, 5<sup>1</sup>, 21426<sup>1</sup>, 241<sup>1</sup>, and 21425<sup>1</sup> in the A<sup>1</sup>A<sub>2</sub> state of D<sub>2</sub>CO in a cold supersonic mol beam. The rotational consts. and origins of each vibrational band are obtained. Several new vibrational bands were obsd., and band centers measured with 1-cm<sup>-1</sup> resoln.

M.N., cretme  
laserforsyng.  
photonicsque

C. A. 1988, 109, N 16

D<sub>2</sub> CO

01132617

1989

7 Б1279. Инфракрасно-микроволновая лазерная спектроскопия на боковой полосе в области CO лазера: Полоса  $\nu_2$  D<sub>2</sub>CO. Infrared microwave sideband laser spectroscopy in the CO laser region: the  $\nu_2$  band of D<sub>2</sub>CO / Hsu S.-H., Schwendeman R. H., Magerl G. // J. Mol. Spectrosc.— 1989.— 136, № 1.— С. 157—168.— Англ.

Методом ИК-микроволновой лазерной спектроскопии на боковой полосе с использованием CO лазера в области частот 1666—1760 см<sup>-1</sup> с точностью 0,00001 см<sup>-1</sup> измерена вращательная структура полосы  $\nu_2$  D<sub>2</sub>CO. Идентифицировано около 150 переходов с  $J < 36$  и  $K_a < 11$ . Анализ ИК-данных с включением известных микроволновых измерений выполнен с использованием гамильтониана Уотсона в А-редукции с учетом квартичного и секстичного центробежного искажения:  $\nu_0 = 1701,61924(10)$  см<sup>-1</sup>; вращательные постоянные  $A = 4,7264857(164)$  см<sup>-1</sup>,  $B = 1,0695898(13)$  см<sup>-1</sup>,  $C = 0,8672748(13)$  см<sup>-1</sup>. Возможное взаимодействие полосы  $\nu_2$  с другими полосами проявляется только для переходов с  $K_a > 9$ .

С. Н. Мурзин

X. 1990, N 7

D<sub>2</sub>CO (Om. 32617) 1989

111: 66926y Infrared microwave sideband laser spectroscopy in the carbon monoxide laser region: the  $\nu_2$  band of deuterated formaldehyde. Hsu, Shin Chu; Schwendeman, R. H.; Magerl, Gottfried (Dep. Chem., Michigan State Univ., East Lansing, MI 48824 USA). *J. Mol. Spectrosc.* 1989, 136(1), 157-68 (Eng). The method of IR microwave sideband laser spectroscopy, which was extended recently to the CO laser region of the spectrum, was used to measure spectra in the  $\nu_2$  band of D<sub>2</sub>CO. The  $\sim 150$  transitions with  $J \leq 36$  and  $K_a \leq 11$  were assigned. The data were combined with the frequencies of microwave transitions detd. previously for the ground  $\nu_2 = 1$  vibrational states and fit to a simple asym. rotor Hamiltonian with centrifugal distortion. The frequencies for  $K_a < 9$  show no evidence of strong coupling to other bands, but for higher  $K_a$  the frequencies of high  $J$  transitions show deviations from calcd. frequencies that are many times the exptl. uncertainties. Improved parameters for the  $\nu_2 = 1$  state are reported.

UK-48  
Magerl.  
Clemcock.

C.A.1989, 111, N 8

820

[Or. 34950]

1990

Moore C.B., Zheng Q.-L.,  
et al.,

Phil. Trans. Roy. Soc.  
London A 1990, 332,  
N 1625, 207-307.

The high-resolution spectroscopy

of dissociating molecules.

$\text{D}_2\text{CD}^+$       Cesar Amery, Agnes Haas  
et al.,

ll.h.      J. Chem. Phys. 1991,  
65, N8, 5906 - 5917

(all.      ●  $\text{H}_2\text{CD}^+; \underline{\text{II}}$ )

$D_2CO$  1991

Wohar Margaret et al.,  
Jagodziński Paul W.

UK CzekaMP  
racmomo

J. Mol. Spectrosc. 1991,  
148(1), 13-19.

(c.u.  $\bullet$   $MgCO$ ; III)

$\text{D}_2\text{CD}$  1992  
Nelander Bengt.

crekmp, Chem. Phys. 1992.  
Greekses - 159, N2. C. 281-287.  
bouesob.  
llk-~~ob~~act6 (cu.   $\text{H}_2\text{O}$ ; III)

$\text{D}_2\text{CO}$

1993

Niu, Baokua; Shirley D.A.,  
et al.,

( $\text{I}, \text{II}, \text{III}$ ) Chem. Phys. Lett. 1993,  
201 (1-4), 222-16

(all. ●  $\text{H}_2\text{CO}$ ; III)

$D_2CO^+$

1993

Nic S., Shirley S.A.,  
et al.,

Физика

стрем

$D_2CO$ ,

спружина

J. Chem. Phys. 1993,  
98 (6), 4377-90.

(an.  $H_2CO^+$ ; (III))

D<sub>2</sub>CO

1998

128: 236502c New high-resolution analysis of the  $\nu_3$ ,  $\nu_4$ , and  $\nu_6$  bands of D<sub>2</sub>CO measured by Fourier transform spectroscopy. Perrin, A.; Flaud, J.-M.; Predoi-Cross, A.; Winnewisser, M.; Winnewisser, B. P.; Mellau, G.; Lock, M. (Laboratoire de Photophysique Moléculaire, CNRS, Université Paris Sud, F-91405 Orsay, Fr.). *J. Mol. Spectrosc.* 1998, 187(1), 61–69 (Eng), Academic Press. A reanal. of the  $\nu_3$ ,  $\nu_4$ , and  $\nu_6$  interacting bands of D<sub>2</sub>CO was carried out in the region 850–1250 cm<sup>-1</sup> using high-resoln. Fourier transform spectra recorded at Giessen. As compared to the previous study of these bands, higher J and K<sub>a</sub> transitions were assigned for the 3 bands, leading to a better detn. of the upper state consts. The  $\nu_3 = 1$ ,  $\nu_4 = 1$ , and  $\nu_6 = 1$  exptl. energy levels were introduced in a least-squares fit calcn. together with the microwave measurements available in the literature to obtain the upper state parameters (band centers, rotational and coupling consts.). In this calcn., which allowed one to reproduce both the IR and the microwave measurements to within their exptl. accuracies, the A-, B-, and C-type Coriolis interactions involving the rotational levels belonging to the  $\nu_4 = 1$  and  $\nu_6 = 1$ ,  $\nu_3 = 1$  and  $\nu_4 = 1$ , and  $\nu_3 = 1$  and  $\nu_6 = 1$  interacting states resp. were explicitly taken into account. Finally, from the intensities, a new detn. of the relative values of the q<sub>3</sub>, q<sub>4</sub>, and q<sub>6</sub> 1st derivs. of the D<sub>2</sub>CO dipole moment was performed.

(D<sub>3</sub>, D<sub>4</sub>, D<sub>6</sub>)

CA. 1998, 128, N19